

Schémas préservant l'asymptotique sur maillages coniques

Xavier Blanc,
Laboratoire Jacques-Louis Lions,
Université Paris Diderot
blanc@ann.jussieu.fr
collaboration avec V. Delmas (CEA), P. Hoch (CEA)

1

Introduction

- Fusion par confinement inertiel
- Transfert radiatif
- Modèle P1
- Limite diffusion

2

Maillages polygonaux

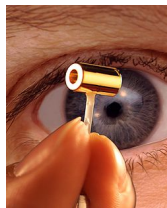
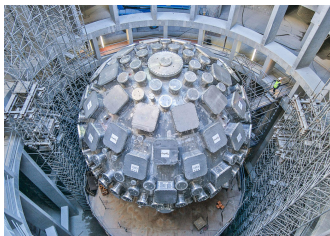
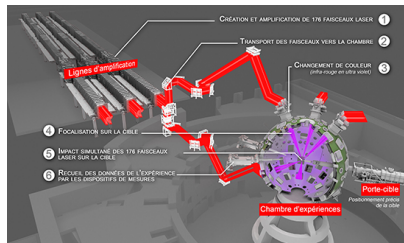
- Schémas préservant l'asymptotique
- Résultats numériques

3

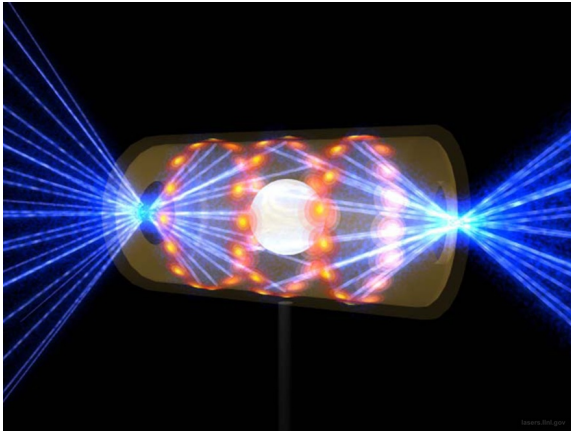
Maillages coniques

- Schémas préservant l'asymptotique
- Résultats numériques

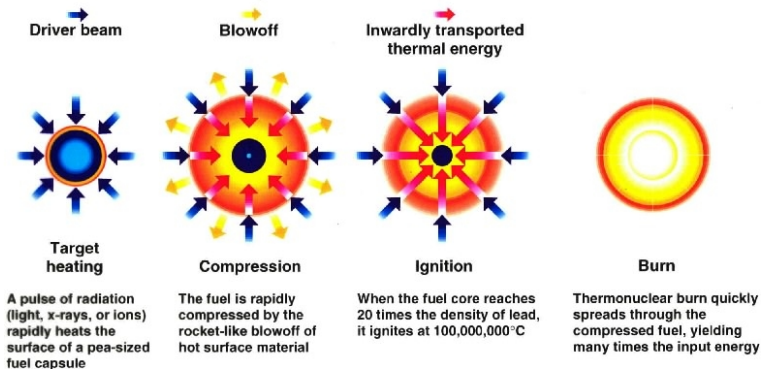
Fusion par confinement inertiel (FCI)



FCI



Inertial Confinement Fusion Concept



Modélisation

$$\left\{ \begin{array}{l} \partial_t \rho + \operatorname{div}_x(\rho \vec{v}) = 0, \\ \partial_t(\rho \vec{v}) + \operatorname{div}_x(\rho \vec{v} \otimes \vec{v}) + \nabla_x p = -\vec{\mathcal{J}}_F, \\ \partial_t(\rho E) + \operatorname{div}_x((\rho E + p)\vec{v}) = -\mathcal{S}_E + S, \\ \frac{1}{c} \partial_t I + \vec{\Omega} \cdot \nabla_x I = \mathcal{S}, \end{array} \right. \quad \begin{array}{l} E = \frac{1}{2}|u|^2 + e, \\ \text{E.O.S } p = p(\rho, \theta) \end{array}$$

$I = I(t, x, \Omega)$, $\Omega \in S^2$, intensité radiative.

$$\mathcal{S} = \sigma_a(\rho, \theta) (a\theta^4 - I) + \sigma_s(\rho, \theta) \left(\int_{S^2} I d\Omega - I \right), \quad a = \text{constant.}$$

$$\vec{\mathcal{J}}_F = \int_{S^2} \Omega \mathcal{S} d\Omega, \quad \mathcal{S}_E = \int_{S^2} \mathcal{S} d\Omega.$$

Modèle aux moments

Intensité radiative $I = I(t, x, \Omega)$ $t \geq 0$, $x \in \mathbb{R}^3$, $\Omega \in S^2$.

$$\frac{1}{c} \partial_t I + \vec{\Omega} \cdot \nabla_x I = \sigma_a (a\theta^4 - I) + \sigma_s (\langle I \rangle - I), \quad \langle I \rangle = \int_{S^2} I d\Omega.$$

Moments de l'équation :

$$\begin{cases} \partial_t E + \operatorname{div}(F) = 4\pi\sigma_a (a\theta^4 - E), \\ \partial_t F + c^2 \operatorname{div}(P) = -c(\sigma_s + \sigma_a)F. \end{cases}$$

$$E = \frac{1}{c} \int_{S^2} I(t, x, \Omega) d\Omega, \quad F = \int_{S^2} \Omega I(t, x, \Omega) d\Omega, \quad P = \frac{1}{c} \int_{S^2} \Omega \otimes \Omega I(t, x, \Omega) d\Omega.$$

Approximation affine en Ω : $I(t, x, \Omega) = \frac{c}{4\pi} E(t, x) + \frac{1}{4\pi} \Omega \cdot F(t, x).$

$$P(t, x) = \frac{1}{3} E(t, x) \operatorname{Id}.$$

$$\begin{cases} \partial_t E + \operatorname{div}(F) = S, \\ \frac{1}{c} \partial_t F + \frac{c}{3} \nabla E = -\sigma F. \end{cases}$$

$$A_x = \begin{pmatrix} 0 & 1 & 0 & 0 \\ \frac{c^2}{3} & 0 & 0 & 0 \\ 0 & 0 & 0 & 0 \\ 0 & 0 & 0 & 0 \end{pmatrix}, \quad A_y = \begin{pmatrix} 0 & 0 & 1 & 0 \\ 0 & 0 & 0 & 0 \\ \frac{c^2}{3} & 0 & 0 & 0 \\ 0 & 0 & 0 & 0 \end{pmatrix}, \quad A_z = \begin{pmatrix} 0 & 0 & 0 & 1 \\ 0 & 0 & 0 & 0 \\ 0 & 0 & 0 & 0 \\ \frac{c^2}{3} & 0 & 0 & 0 \end{pmatrix},$$

Système **symétrisable**. $\Sigma = \begin{pmatrix} \frac{c}{\sqrt{3}} & 0 & 0 & 0 \\ 0 & \frac{\sqrt{3}}{c} & 0 & 0 \\ 0 & 0 & \frac{\sqrt{3}}{c} & 0 \\ 0 & 0 & 0 & \frac{\sqrt{3}}{c} \end{pmatrix}.$

$$\begin{cases} \partial_t E + \operatorname{div}(F) = S, \\ \frac{1}{c} \partial_t F + \frac{c}{3} \nabla E = -\sigma F. \end{cases}$$

Limite diffusion : $c \approx \sigma \rightarrow +\infty$: $F = -\frac{c}{3\sigma} \nabla E$.

$$\partial_t E - \operatorname{div}\left(\frac{c}{3\sigma} \nabla E\right) = S.$$

Premier essai : 1D, schéma décentré amont

$$\begin{cases} \partial_t E + \partial_x F = 0, \\ \partial_t F + \frac{c^2}{3} \partial_x E = -\sigma c F. \end{cases}$$

Invariants de Riemann : $U = E + \frac{\sqrt{3}}{c} F$, $V = E - \frac{\sqrt{3}}{c} F$,

$$\begin{cases} \partial_t U + \frac{c}{\sqrt{3}} \partial_x U = \sigma \frac{c}{2} (V - U), \\ \partial_t V - \frac{c}{\sqrt{3}} \partial_x V = \sigma \frac{c}{2} (U - V). \end{cases}$$

Schéma décentré amont :

$$\begin{cases} \frac{U_j^{n+1} - U_j^n}{\Delta t} + \frac{c}{\sqrt{3}} \frac{U_j^n - U_{j-1}^n}{\Delta x} = \sigma \frac{c}{2} (V_j^n - U_j^n), \\ \frac{V_j^{n+1} - V_j^n}{\Delta t} - \frac{c}{\sqrt{3}} \frac{V_{j+1}^n - V_j^n}{\Delta x} = \sigma \frac{c}{2} (U_j^n - V_j^n). \end{cases}$$

Schéma upwind

$$\begin{cases} \frac{U_j^{n+1} - U_j^n}{\Delta t} + \frac{c}{\sqrt{3}} \frac{U_j^n - U_{j-1}^n}{\Delta x} = \sigma \frac{c}{2} (V_j^n - U_j^n), \\ \frac{V_j^{n+1} - V_j^n}{\Delta t} - \frac{c}{\sqrt{3}} \frac{V_{j+1}^n - V_j^n}{\Delta x} = \sigma \frac{c}{2} (U_j^n - V_j^n). \end{cases}$$

$$\begin{cases} \frac{E_j^{n+1} - E_j^n}{\Delta t} + \frac{F_{j+1}^n - F_{j-1}^n}{2\Delta x} + \frac{c}{2\sqrt{3}\Delta x} (2E_j^n - E_{j-1}^n - E_{j+1}^n) = 0, \\ \frac{F_j^{n+1} - F_j^n}{\Delta t} + \frac{c^2}{3} \frac{E_{j+1}^n - E_{j-1}^n}{2\Delta x} + \frac{c}{2\sqrt{3}\Delta x} (2F_j^n - F_{j-1}^n - F_{j+1}^n) = -c\sigma F_j^n. \end{cases}$$

Limite diffusion $c \approx \sigma \rightarrow +\infty$:

$$F_j^n = -\frac{c}{3\sigma} \frac{E_{j+1}^n - E_{j-1}^n}{2\Delta x}, \quad 2E_j^n - E_{j-1}^n - E_{j+1}^n = 0.$$

Pas consistant avec l'équation de diffusion $\partial_t E - \partial_x \left(\frac{c}{3\sigma} \partial_x E \right) = 0$.

Schémas préservant l'asymptotique

- 1 S. Jin, D. Levermore 1996.
- 2 J. Greenberg, A. Y. Leroux 1996.
- 3 L. Gosse, G. Toscani 2001.
- 4 C. Berthon, R. Turpault, 2011.
- 5 C. Buet, B. Després, E. Franck, 2012. ← dimension 2
- 6 C. Buet, B. Després, 2015.

Schéma de Jin-Levermore

Idée : monter en ordre sur E en utilisant l'asymptotique diffusion :

$$\partial_x E = -\frac{3\sigma}{c} F.$$

Flux upwind : $U_{j+\frac{1}{2}} = U_j$, $V_{j+\frac{1}{2}} = V_{j+1}$.

$$\begin{cases} E_{j+\frac{1}{2}} + \frac{\sqrt{3}}{c} F_{j+\frac{1}{2}} = E_j + \frac{\sqrt{3}}{c} F_j, \\ E_{j+\frac{1}{2}} - \frac{\sqrt{3}}{c} F_{j+\frac{1}{2}} = E_{j+1} - \frac{\sqrt{3}}{c} F_{j+1}. \end{cases} \rightsquigarrow \begin{cases} E_{j+\frac{1}{2}} + \frac{\Delta x}{2} \frac{3\sigma}{c} F_{j+\frac{1}{2}} + \frac{\sqrt{3}}{c} F_{j+\frac{1}{2}} = E_j + \frac{\sqrt{3}}{c} F_j, \\ E_{j+\frac{1}{2}} - \frac{\Delta x}{2} \frac{3\sigma}{c} F_{j+\frac{1}{2}} - \frac{\sqrt{3}}{c} F_{j+\frac{1}{2}} = E_{j+1} - \frac{\sqrt{3}}{c} F_{j+1}. \end{cases}$$

$$\begin{cases} E_{j+\frac{1}{2}} = \frac{1}{2} \left(E_j + E_{j+1} + \frac{\sqrt{3}}{c} F_j - \frac{\sqrt{3}}{c} F_{j+1} \right), \\ F_{j+\frac{1}{2}} = \frac{1}{1 + \sigma\sqrt{3}\frac{\Delta x}{2}} \frac{1}{2} \left(F_j + F_{j+1} + \frac{\sqrt{3}}{c} E_j - \frac{\sqrt{3}}{c} E_{j+1} \right). \end{cases}$$

Schéma de Jin-Levermore

$$M = \frac{1}{1 + \sigma\sqrt{3}\frac{\Delta x}{2}}$$

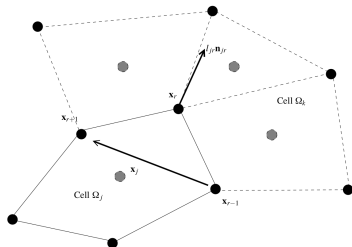
$$\begin{cases} \frac{E_j^{n+1} - E_j^n}{\Delta t} + M \frac{F_{j+1}^n - F_{j-1}^n}{2\Delta x} + M \frac{c}{2\sqrt{3}\Delta x} (2E_j^n - E_{j-1}^n - E_{j+1}^n) = 0, \\ \frac{F_j^{n+1} - F_j^n}{\Delta t} + \frac{c^2}{3} \frac{E_{j+1}^n - E_{j-1}^n}{2\Delta x} + \frac{c}{2\sqrt{3}\Delta x} (2F_j^n - F_{j-1}^n - F_{j+1}^n) = -c\sigma F_j^n. \end{cases}$$

Limite diffusion $c \approx \sigma \rightarrow +\infty$: $M \approx \frac{1}{\sigma\sqrt{3}\frac{\Delta x}{2}}$.

Première équation :

$$\frac{E_j^{n+1} - E_j^n}{\Delta t} + \frac{c}{3\sigma\Delta x^2} (2E_j^n - E_{j-1}^n - E_{j+1}^n) = 0$$

Dimension deux



$$l_{jr} = \frac{1}{2} |x_{r+1} - x_{r-1}|,$$

$$n_{jr} = \frac{1}{2l_{jr}} (x_{r+1} - x_{r-1})^\perp.$$

$$\nabla_{x_r} |\Omega_j| = l_{jr} n_{jr}.$$

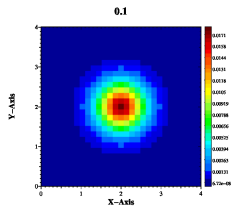
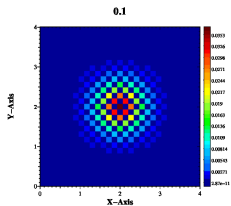
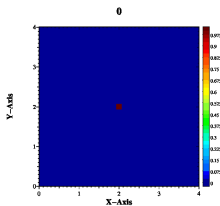
$$\begin{cases} |\Omega_j| \partial_t E_j + \sum_r l_{jr} F_r \cdot n_{jr} = 0, \\ |\Omega_j| \partial_t F_j + \frac{c^2}{3} \sum_r l_{jr} E_{jr} n_{jr} = -\sigma c |\Omega_j| F_j \end{cases}$$

$$\begin{cases} E_{jr} = E_j + \frac{\sqrt{3}}{c} (F_j - F_r) \cdot n_{jr}, \\ \sum_j l_{jr} n_{jr} E_{jr} = 0. \end{cases}$$

Modification Jin-Levermore :
 limite diffusion.

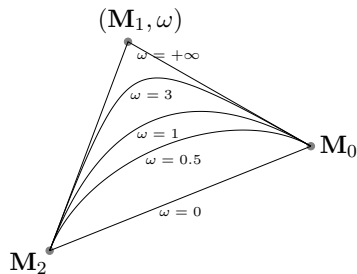
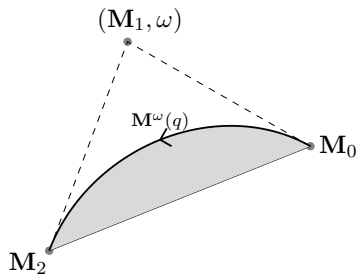
Refs : C. Mazerand, thèse. E. Franck, thèse.

Problème : stencil "en croix" \Rightarrow stabilisation.



Arêtes coniques

$$\mathbf{M}^\omega(q) = \begin{pmatrix} x(q) \\ y(q) \end{pmatrix} = \frac{\mathbf{M}_0(1-q)^2 + 2\omega q(1-q)\mathbf{M}_1 + q^2\mathbf{M}_2}{(1-q)^2 + 2\omega q(1-q) + q^2}, \quad q \in [0, 1]$$



$\omega = 0$: segment

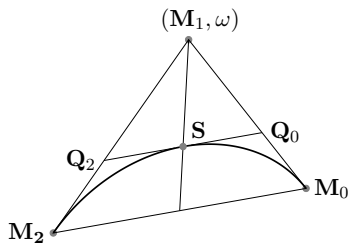
$\omega \in]0, 1[$: ellipse

$\omega = 1$: parabole

$\omega > 1$: hyperbole.

Arêtes coniques

Shoulder point : $\mathbf{S} := \mathbf{M}^\omega(q = 0.5)$.



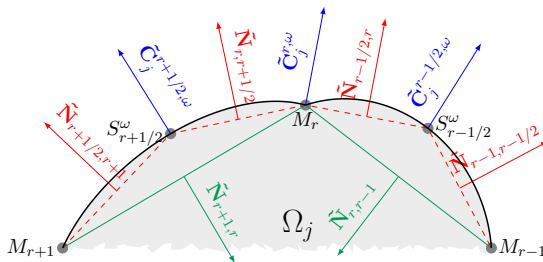
$$\mathbf{S} = \frac{1}{2}(\mathbf{Q}_0 + \mathbf{Q}_2), \quad \mathbf{Q}_0 = \frac{1}{1+\omega}(\omega\mathbf{M}_1 + \mathbf{M}_0), \quad \mathbf{Q}_2 = \frac{1}{1+\omega}(\omega\mathbf{M}_1 + \mathbf{M}_2).$$

B. Boutin, E. Deriaz, P. Hoch, ESAIM Proc 2011, M. Li, X.-S. Gao, S.-C. Chou, Visual Comput., 2006.

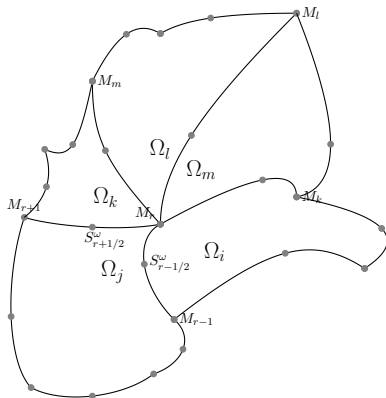
Arêtes coniques

Aire

$$|\Omega_j| = \sum_e A(\mathbf{O}, \mathbf{M}_0^e, \mathbf{M}_2^e) + f(\omega) A(\mathbf{M}_0^e, \mathbf{M}_1^e, \mathbf{M}_2^e) = \frac{1}{2} \sum_{dof} \tilde{\mathbf{C}}_j^{dof, \omega} \cdot \mathbf{O} \mathbf{M}_{dof}.$$



Arêtes coniques



Dof aux sommets \mathbf{M}_r ET aux shoulder points $\mathbf{S}_{r+1/2}$.

Schéma GLACE

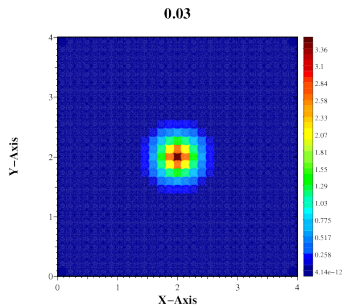
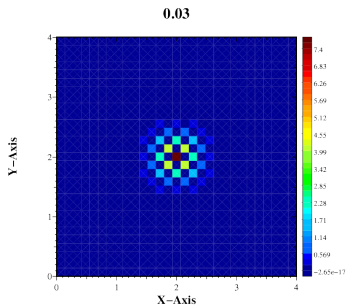
$$\begin{cases} E_i^{n+1} - E_i^n + \frac{\Delta t}{|\Omega_i|} \sum_{r/M_r \in \Omega_i} \mathbf{C}_i^r \cdot \mathbf{F}_r^{n+1} = 0, \\ \mathbf{F}_i^{n+1} - \mathbf{F}_i^n + \frac{c^2 \Delta t}{3|\Omega_i|} \sum_{r/M_r \in \Omega_i} \mathbf{C}_i^r E_{ir}^{n+1} = -c\sigma_i \Delta t \mathbf{F}_i^{n+1}, \end{cases}$$

$$\begin{cases} E_{ir}^{n+1} = E_i^{n+1} + \frac{\sqrt{3}}{c} \left(\mathbf{F}_i^{n+1} - \mathbf{F}_r^{n+1} \right) \cdot \mathbf{n}_{ir} - c\sigma_r \mathbf{F}_r^{n+1} \cdot (\mathbf{M}_r - \mathbf{x}_i), \\ \sum_{i/M_r \in \Omega_i} (\alpha_{ir} + c\sigma_r \beta_{ir}) \mathbf{F}_r^{n+1} = \sum_{i/M_r \in \Omega_i} \mathbf{C}_i^r E_i^{n+1} + \sum_{i/M_r \in \Omega_i} \mathbf{C}_i^r \otimes \mathbf{n}_{ir} \mathbf{F}_i^{n+1}. \end{cases}$$

$$\alpha_{ir} = \mathbf{C}_i^r \otimes \mathbf{n}_{ir} \text{ et } \beta_{ir} = \mathbf{C}_i^r \otimes (\mathbf{M}_r - \mathbf{x}_i) \text{ avec } \mathbf{n}_{ir} = \frac{\mathbf{C}_i^r}{\|\mathbf{C}_i^r\|}.$$

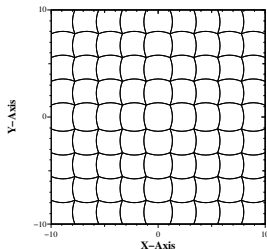
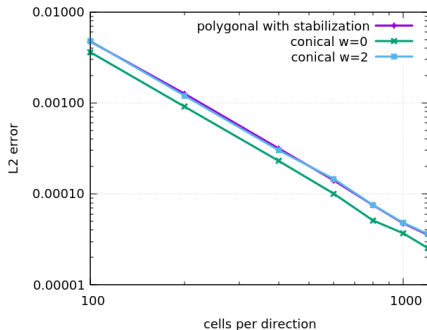
Limite diffusion

$\sigma = c = 10^4$, donnée initiale $E(0, x) = \delta_0(x)$. $E(t, x) = \frac{6\sigma}{\pi ct} e^{-\frac{3\sigma}{2ct}|x|^2}$



Limite diffusion

$\sigma = c = 10^4$, donnée initiale $E(0, x) = \delta_0(x)$. $E(t, x) = \frac{6\sigma}{\pi ct} e^{-\frac{3\sigma}{2ct}|x|^2}$



Régime transport

Conditions périodiques aux bord \Rightarrow Fourier : solution analytique.

Si $4\pi\sqrt{j^2+k^2} \leq \sigma L\sqrt{3}$,

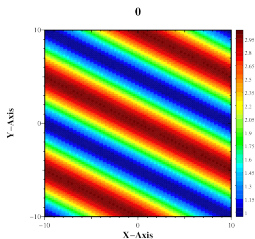
$$E(x,y,t) = \cos\left(\frac{2j\pi x}{L} + \frac{2k\pi y}{L}\right) e^{-\sigma ct} \left[\alpha \left(\sigma c \frac{\sinh(\gamma t)}{2\gamma} + \cosh(\gamma t) \right) + \beta \frac{\sinh(\gamma t)}{\gamma} \right],$$

Si $4\pi\sqrt{j^2+k^2} > \sigma L\sqrt{3}$,

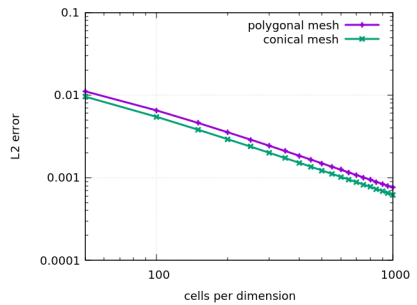
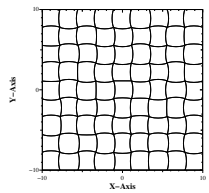
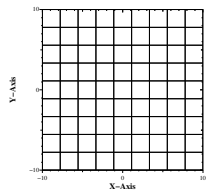
$$E(x,y,t) = \cos\left(\frac{2j\pi x}{L} + \frac{2k\pi y}{L}\right) e^{-\sigma ct} \left[\alpha \left(\sigma c \frac{\sin(\gamma t)}{2\gamma} + \cos(\gamma t) \right) + \beta \frac{\sin(\gamma t)}{\gamma} \right],$$

$$\gamma = \frac{1}{2} \sqrt{\left| \sigma^2 c^2 - 16 \frac{\pi^2 c^2}{3L^2} (j^2 + k^2) \right|}.$$

$$\sigma = c = 1, j = 1, k = 2$$

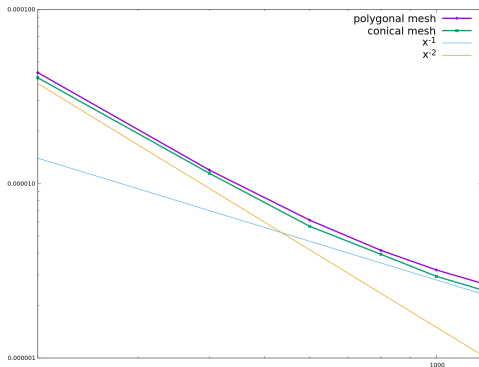


Régime transport



Régime diffusion

$\sigma = c = 10^4$, solution analytique



dirac.gif